

Prowadzący instalację:

P4 Sp. z o. o.
ul. Wynalazek 1
02-677 Warszawa

Warszawa, 10.05.2023

Adres do korespondencji:

P4 Sp. z o. o.
ul. Wynalazek 1,
02-677 Warszawa

Starostwo Powiatowe w Radomsku
Wydział Ochrony Środowiska, Rolnictwa i
Leśnictwa

Przedłożenie informacji o zmianie danych w instalacji

o których mowa w przedłożeniu informacji dla RDM3302A z dnia 14.07.2021

dotyczy: informacji o zmianie w zakresie danych w przedłożeniu informacji dla RDM3302A.

Adres zakładu, na którego terenie prowadzona jest eksploatacja instalacji:

97-500 Radomsko, 11-go Listopada 2, gm. Radomsko, pow. radomszczański

Podstawa prawna: ustawa z dnia 27 kwietnia 2001 r. Prawo ochrony środowiska, art. 152, ust 6, pkt 1, lit. c)

Niniejsza informacja zawiera wyłącznie dane, które uległy zmianie.

1) Oznaczenie prowadzącego instalację, jego adres zamieszkania lub siedziby.

Brak zmian.

2) Rodzaj i zakres prowadzonej działalności, w tym wielkość produkcji lub wielkość świadczonych usług.

Usługi telekomunikacyjne, transmisja danych: 1TB/doba.

3) Czas funkcjonowania instalacji (dni tygodnia i godziny).

Brak zmian.

4) Wielkość i rodzaj emisji.

Dane przed zmianą:

L.p.	Nazwa anteny	Wysokość [m n.p.t.]	Rodzaj emisji	Równoważna moc	Azymut	Kąt pochylenia	Częstotliwość
------	--------------	------------------------	------------------	-------------------	--------	-------------------	---------------

				promieniowana izotropowo			
1	11_H	63	PEM	7315 W	30°	0-10°	2600 MHz
2	11_H	63	PEM	7315 W	90°	0-10°	2600 MHz
3	12_GTV	62,7	PEM	4905 W	30°	0-10°	800 MHz
4	12_GTV	62,7	PEM	2610 W	30°	0-10°	900 MHz
5	12_GTV	62,7	PEM	4905 W	90°	0-10°	800 MHz
6	12_GTV	62,7	PEM	2610 W	90°	0-10°	900 MHz
7	13_DHLN	62,45	PEM	9353 W	28°	2-9°	1800 MHz
8	13_DHLN	62,45	PEM	10641 W	28°	2-9°	2100 MHz
9	13_DHLN	62,45	PEM	9353 W	92°	2-9°	1800 MHz
10	13_DHLN	62,45	PEM	10641 W	92°	2-9°	2100 MHz
11	21_H	63	PEM	7315 W	150°	0-10°	2600 MHz
12	21_H	63	PEM	7315 W	210°	0-10°	2600 MHz
13	22_GTV	62,7	PEM	4905 W	150°	0-10°	800 MHz
14	22_GTV	62,7	PEM	2610 W	150°	0-10°	900 MHz
15	22_GTV	62,7	PEM	4905 W	210°	0-10°	800 MHz
16	22_GTV	62,7	PEM	2610 W	210°	0-10°	900 MHz
17	23_DHLN	62,45	PEM	9353 W	148°	2-9°	1800 MHz
18	23_DHLN	62,45	PEM	10641 W	148°	2-9°	2100 MHz
19	23_DHLN	62,45	PEM	9353 W	212°	2-9°	1800 MHz
20	23_DHLN	62,45	PEM	10641 W	212°	2-9°	2100 MHz
21	31_H	63	PEM	7315 W	270°	0-10°	2600 MHz
22	31_H	63	PEM	7315 W	330°	0-10°	2600 MHz
23	32_GTV	62,7	PEM	4905 W	270°	0-10°	800 MHz
24	32_GTV	62,7	PEM	2610 W	270°	0-10°	900 MHz
25	32_GTV	62,7	PEM	4905 W	330°	0-10°	800 MHz
26	32_GTV	62,7	PEM	2610 W	330°	0-10°	900 MHz
27	33_DHLN	62,45	PEM	9353 W	268°	2-7°	1800 MHz
28	33_DHLN	62,45	PEM	10641 W	268°	2-7°	2100 MHz
29	33_DHLN	62,45	PEM	9353 W	332°	2-9°	1800 MHz
30	33_DHLN	62,45	PEM	10641 W	332°	2-9°	2100 MHz
31	RL1	61,5	PEM	1380 W	26°		23 GHz
32	RL2	62	PEM	3020 W	79°		13 GHz
33	RL3	63,9	PEM	7079 W	122°		80 GHz
34	RL4	61,8	PEM	1380 W	275°		23 GHz
35	RL5	61,3	PEM	3020 W	289°		13 GHz
36	RL6	61,3	PEM	9333 W	320°		32 GHz

Dane po zmianie:

L.p.	Nazwa anteny	Wysokość [m n.p.t.]	Rodzaj emisji	Równoważna moc promieniowana izotropowo	Azymut	Kąt pochylenia	Częstotliwość
1	11_H	63	PEM	7315 W	30°	0-10°	2600 MHz
2	11_H	63	PEM	7315 W	90°	0-10°	2600 MHz
3	12_GTV	62,7	PEM	4905 W	30°	0-10°	800 MHz
4	12_GTV	62,7	PEM	2610 W	30°	0-10°	900 MHz
5	12_GTV	62,7	PEM	4905 W	90°	0-10°	800 MHz
6	12_GTV	62,7	PEM	2610 W	90°	0-10°	900 MHz

7	13_DHLN	62,45	PEM	11228 W	28°	2-12°	1800 MHz
8	13_DHLN	62,45	PEM	12773 W	28°	2-12°	2100 MHz
9	13_DHLN	62,45	PEM	11228 W	92°	2-12°	1800 MHz
10	13_DHLN	62,45	PEM	12773 W	92°	2-12°	2100 MHz
11	21_H	63	PEM	7315 W	150°	0-10°	2600 MHz
12	21_H	63	PEM	7315 W	210°	0-10°	2600 MHz
13	22_GTV	62,7	PEM	4905 W	150°	0-10°	800 MHz
14	22_GTV	62,7	PEM	2610 W	150°	0-10°	900 MHz
15	22_GTV	62,7	PEM	4905 W	210°	0-10°	800 MHz
16	22_GTV	62,7	PEM	2610 W	210°	0-10°	900 MHz
17	23_DHLN	62,45	PEM	11228 W	148°	2-12°	1800 MHz
18	23_DHLN	62,45	PEM	12773 W	148°	2-12°	2100 MHz
19	23_DHLN	62,45	PEM	11228 W	212°	2-12°	1800 MHz
20	23_DHLN	62,45	PEM	12773 W	212°	2-12°	2100 MHz
21	31_H	63	PEM	7315 W	270°	0-10°	2600 MHz
22	31_H	63	PEM	7315 W	330°	0-10°	2600 MHz
23	32_GTV	62,7	PEM	4905 W	270°	0-10°	800 MHz
24	32_GTV	62,7	PEM	2610 W	270°	0-10°	900 MHz
25	32_GTV	62,7	PEM	4905 W	330°	0-10°	800 MHz
26	32_GTV	62,7	PEM	2610 W	330°	0-10°	900 MHz
27	33_DHLN	62,45	PEM	11228 W	268°	2-12°	1800 MHz
28	33_DHLN	62,45	PEM	12773 W	268°	2-12°	2100 MHz
29	33_DHLN	62,45	PEM	11228 W	332°	2-12°	1800 MHz
30	33_DHLN	62,45	PEM	12773 W	332°	2-12°	2100 MHz
31	RL1	63	PEM	1413 W	2°		80 GHz
32	RL2	61,5	PEM	8822 W	26°		80 GHz, 23 GHz
33	RL3	62	PEM	3162 W	79°		13 GHz
34	RL4	63,9	PEM	7586 W	122°		80 GHz
35	RL5	61,8	PEM	1479 W	275°		23 GHz
36	RL6	61,3	PEM	3162 W	289°		13 GHz
37	RL7	61,3	PEM	9120 W	320°		32 GHz

5) Opis stosowanych metod ograniczania wielkości emisji.

Brak zmian.

6) Informacja, czy stopień ograniczania wielkości emisji jest zgodny z obowiązującymi przepisami.

Stopień ograniczenia wielkości emisji jest zgodny z obowiązującymi przepisami.

7) (uchylony)

-/-

8) Sprawozdanie z wykonanych pomiarów poziomów pól EM, o których mowa w art. 122a ust. 1 pkt 1.

Sprawozdanie nr OSR/0040/04/2023 z dnia 28.04.2023, Nr akredytacji PCA – AB 505.

Koordynator OŚ

PLAY

iliad
GROUP

Klaudia Ołdakowska

kom. 790004874

Signature Not Verified

Dokument podpisany przez

Klaudia Ołdakowska

Data: 2023.05.10 14:40:20 CEST

SPRAWOZDANIE NR OSR/0040/04/2023
Z SZEROKOPASMOWYCH POMIARÓW PÓL
ELEKTROMAGNETYCZNYCH
PRZEPROWADZONYCH DLA CELÓW OCHRONY ŚRODOWISKA

Badany obiekt: instalacja radiokomunikacyjna P4 Sp. z o. o.
„RDM3302A”

- Radomsko, ul. 11-go Listopada 2 -



Zleceniodawca: **P4 Sp. z o. o.**
ul. Wynalazek 1
02 – 677 Warszawa

Data pomiarów: 28.04.2023 r.

Egzemplarz nr 5/5

Maj 2023

SPIS TREŚCI

1. INFORMACJE OGÓLNE.....	3
2. WARUNKI WYKONANIA POMIARÓW.....	3
2.1. <i>Parametry badanych źródeł</i>	4
2.2. Inne źródła pola-EM mogące mieć wpływ na wyniki pomiarów.....	10
2.3. Data i warunki środowiskowe.....	10
2.4. Opis zestawu pomiarowego.....	11
2.5. Metodyka wykonywania pomiarów.....	11
3. WYNIKI POMIARÓW.....	12
4. OCENA WYNIKÓW POMIARU PÓL.....	15
4.1. Wnioski.....	15
5. OCENA ZGODNOŚCI.....	16
6. WYKAZ NORM I PRZEPISÓW.....	16
7. SPIS ZAŁĄCZNIKÓW.....	16

1. INFORMACJE OGÓLNE

Atomik Laboratorium Badawcze przeprowadziło badanie i opracowało sprawozdanie zgodnie z procedurą odpowiadającą wymaganiom normy PN-EN ISO/IEC 17025:2018-02.

Niniejsze opracowanie dotyczy pomiarów natężenia pola elektrycznego, które zostały wykonane dla celów ochrony środowiska.

Celem badania jest sprawdzenie, czy w miejscach dostępnych dla ludzi nie zostały przekroczone dopuszczalne poziomy promieniowania elektromagnetycznego określone w przepisach oraz ewentualne wyznaczenie obszarów o przekroczonych wartościach dopuszczalnych.

W opracowaniu wykorzystano przedstawione przez zleceniodawcę szczegółowe dane techniczne badanej instalacji oraz szczegółowe informacje dotyczące parametrów jej pracy.

2. WARUNKI WYKONANIA POMIARÓW

Podstawą wykonania pomiarów jest zlecenie na wykonanie pomiarów natężenia pola elektrycznego, dla celów ochrony środowiska przy instalacji radiokomunikacyjnej zlokalizowanej pod adresem: Radomsko, ul. 11-go Listopada 2 (załącznik nr 1).

- *Pomiary przeprowadził i obliczenia wykonał:*
Dariusz Cholewa
Atomik Laboratorium Badawcze
- *Zleceniodawca:*
P4 Sp. z o. o.
ul. Wynalazek 1
02 – 677 Warszawa
- *Właściciel badanego obiektu:*
P4 Sp. z o. o.
ul. Wynalazek 1
02 – 677 Warszawa
- *Imię i nazwisko oraz stanowisko osoby udzielającej informacji do sprawozdania:*
Pani Monika Bieroza-Jóźwik – P4 Sp. z o. o.

Badanymi źródłami pola elektromagnetycznego są urządzenia nadawczo-odbiorcze instalacji radiokomunikacyjnej.

Anteny zainstalowane są na kominie, a urządzenia nadawczo - odbiorcze w ekranowanych obudowach u podstawy komina oraz na jego galerii. Pomiary zostały wykonane w czasie znamionowych warunków eksploatacyjnych instalacji radiokomunikacyjnej.

2.1. Parametry badanych źródeł

Zgodnie z otrzymaną od zleceniodawcy dokumentacją dla badanego obiektu w poniższych tabelach przedstawiono maksymalne parametry pracy urządzeń nadawczo-odbiorczych instalacji radiokomunikacyjnej.

Tabela 1. Parametry anten sektorowych*

Charakterystyka promieniowania		kierunkowa	
Rzeczywisty czas pracy [h/dobę]		24	
Rodzaj wytwarzanego pola		Stacjonarne	
L.p.	Wyszczególnienie	Sektor 1	
I. Nadajnik stacji bazowej			
1	Typ/Producent	DBS / SRAN Huawei	
2	Częstotliwość (pasmo)	2100	1800
3	Maksymalna moc nadawania na sektor [dBm]	52,04	52,04
II. Obciążenie			
1	Typ anteny	AMB4520R9	
2	Producent anteny	Huawei	
3	Nazwa anteny	13_DHLN	13_DHLN
4	Liczba anten	1	
5	azymut[°]	28	
6	Zakres kątów pochylenia [°]**	2-12	2-12
7	Wysokość środka elektrycznego anteny [m n.p.t]	62,45	
8	Równoważna moc promieniowana izotropowo (EIRP) [W]	24001,0	

Charakterystyka promieniowania		kierunkowa		
Rzeczywisty czas pracy [h/dobę]		24		
Rodzaj wytwarzanego pola		Stacjonarne		
L.p.	Wyszczególnienie	Sektor 2		
I. Nadajnik stacji bazowej				
1	Typ/Producent	DBS / SRAN Huawei		
2	Częstotliwość (pasmo)	900	800	2600
3	Maksymalna moc nadawania na sektor [dBm]	46,02	49,03	49,03
II. Obciążenie				
1	Typ anteny	AMB4519R0		AMB4520R0
2	Producent anteny	Huawei		
3	Nazwa anteny	12_GTV	12_GTV	11_H
4	Liczba anten	1		1
5	azymut[°]	30		
6	Zakres kątów pochylenia [°]**	0-10	0-10	0-10
7	Wysokość środka elektrycznego anteny [m n.p.t]	62,70		63,00
8	Równoważna moc promieniowana izotropowo (EIRP) [W]	7515,0		7315,0

Charakterystyka promieniowania		kierunkowa		
Rzeczywisty czas pracy [h/dobę]		24		
Rodzaj wytwarzanego pola		Stacjonarne		
L.p.	Wyszczególnienie	Sektor 3		
I. Nadajnik stacji bazowej				
1	Typ/Producent	DBS / SRAN Huawei		
2	Częstotliwość (pasmo)	900	800	2600
3	Maksymalna moc nadawania na sektor [dBm]	46,02	49,03	49,03
II. Obciążenie				
1	Typ anteny	AMB4519R0		AMB4520R0
2	Producent anteny	Huawei		Huawei
3	Nazwa anteny	12_GTV	12_GTV	11_H
4	Liczba anten	1		1
5	azymut[°]	90		
6	Zakres kątów pochylenia [°]**	0-10	0-10	0-10
7	Wysokość środka elektrycznego anteny [m n.p.t]	62,70		63,00
8	Równoważna moc promieniowana izotropowo (EIRP) [W]	7515,0		7315,0

Charakterystyka promieniowania		kierunkowa		
Rzeczywisty czas pracy [h/dobę]		24		
Rodzaj wytwarzanego pola		Stacjonarne		
L.p.	Wyszczególnienie	Sektor 4		
I. Nadajnik stacji bazowej				
1	Typ/Producent	DBS / SRAN Huawei		
2	Częstotliwość (pasmo)	2100	1800	
3	Maksymalna moc nadawania na sektor [dBm]	52,04	52,04	
II. Obciążenie				
1	Typ anteny	AMB4520R9		
2	Producent anteny	Huawei		
3	Nazwa anteny	13_DHLN	13_DHLN	
4	Liczba anten	1		
5	azymut[°]	92		
6	Zakres kątów pochylenia [°]**	2-12	2-12	
7	Wysokość środka elektrycznego anteny [m n.p.t]	62,45		
8	Równoważna moc promieniowana izotropowo (EIRP) [W]	24001,0		

Charakterystyka promieniowania		kierunkowa	
Rzeczywisty czas pracy [h/dobę]		24	
Rodzaj wytwarzanego pola		Stacjonarne	
L.p.	Wyszczególnienie	Sektor 5	
I. Nadajnik stacji bazowej			
1	Typ/Producent	DBS / SRAN Huawei	
2	Częstotliwość (pasmo)	2100	1800
3	Maksymalna moc nadawania na sektor [dBm]	52,04	52,04
II. Obciążenie			
1	Typ anteny	AMB4520R9	
2	Producent anteny	Huawei	
3	Nazwa anteny	23_DHLN	23_DHLN
4	Liczba anten	1	
5	azymut[°]	148	
6	Zakres kątów pochylenia [°]**	2-12	2-12
7	Wysokość środka elektrycznego anteny [m n.p.t]	62,45	
8	Równoważna moc promieniowana izotropowo (EIRP) [W]	24001,0	

Charakterystyka promieniowania		kierunkowa	
Rzeczywisty czas pracy [h/dobę]		24	
Rodzaj wytwarzanego pola		Stacjonarne	
L.p.	Wyszczególnienie	Sektor 6	
I. Nadajnik stacji bazowej			
1	Typ/Producent	DBS / SRAN Huawei	
2	Częstotliwość (pasmo)	900	800 2600
3	Maksymalna moc nadawania na sektor [dBm]	46,02	49,03 49,03
II. Obciążenie			
1	Typ anteny	AMB4519R0	AMB4520R0
2	Producent anteny	Huawei	
3	Nazwa anteny	22_GTV	21_H
4	Liczba anten	1	
5	azymut[°]	150	
6	Zakres kątów pochylenia [°]**	0-10	0-10
7	Wysokość środka elektrycznego anteny [m n.p.t]	62,70	63,00
8	Równoważna moc promieniowana izotropowo (EIRP) [W]	7515,0	7315,0

Charakterystyka promieniowania		kierunkowa		
Rzeczywisty czas pracy [h/dobę]		24		
Rodzaj wytwarzanego pola		Stacjonarne		
L.p.	Wyszczególnienie	Sektor 7		
I. Nadajnik stacji bazowej				
1	Typ/Producent	DBS / SRAN Huawei		
2	Częstotliwość (pasmo)	900	800	2600
3	Maksymalna moc nadawania na sektor [dBm]	46,02	49,03	49,03
II. Obciążenie				
1	Typ anteny	AMB4519R0		AMB4520R0
2	Producent anteny	Huawei		Huawei
3	Nazwa anteny	22_GTV	22_GTV	21_H
4	Liczba anten	1		1
5	azymut[°]	210		
6	Zakres kątów pochylenia [°]**	0-10	0-10	0-10
7	Wysokość środka elektrycznego anteny [m n.p.t]	62,70		63,00
8	Równoważna moc promieniowana izotropowo (EIRP) [W]	7515,0		7315,0

Charakterystyka promieniowania		kierunkowa		
Rzeczywisty czas pracy [h/dobę]		24		
Rodzaj wytwarzanego pola		Stacjonarne		
L.p.	Wyszczególnienie	Sektor 8		
I. Nadajnik stacji bazowej				
1	Typ/Producent	DBS / SRAN Huawei		
2	Częstotliwość (pasmo)	2100	1800	
3	Maksymalna moc nadawania na sektor [dBm]	52,04	52,04	
II. Obciążenie				
1	Typ anteny	AMB4520R9		
2	Producent anteny	Huawei		
3	Nazwa anteny	23_DHLN	23_DHLN	
4	Liczba anten	1		
5	azymut[°]	212		
6	Zakres kątów pochylenia [°]**	2-12	2-12	
7	Wysokość środka elektrycznego anteny [m n.p.t]	62,45		
8	Równoważna moc promieniowana izotropowo (EIRP) [W]	24001,0		

Charakterystyka promieniowania		kierunkowa	
Rzeczywisty czas pracy [h/dobę]		24	
Rodzaj wytwarzanego pola		Stacjonarne	
L.p.	Wyszczególnienie	Sektor 9	
I. Nadajnik stacji bazowej			
1	Typ/Producent	DBS / SRAN Huawei	
2	Częstotliwość (pasmo)	2100	1800
3	Maksymalna moc nadawania na sektor [dBm]	52,04	52,04
II. Obciążenie			
1	Typ anteny	AMB4520R9	
2	Producent anteny	Huawei	
3	Nazwa anteny	33_DHLN	33_DHLN
4	Liczba anten	1	
5	azymut[°]	268	
6	Zakres kątów pochylenia [°]**	2-12	2-12
7	Wysokość środka elektrycznego anteny [m n.p.t]	62,45	
8	Równoważna moc promieniowana izotropowo (EIRP) [W]	24001,0	

Charakterystyka promieniowania		kierunkowa	
Rzeczywisty czas pracy [h/dobę]		24	
Rodzaj wytwarzanego pola		Stacjonarne	
L.p.	Wyszczególnienie	Sektor 10	
I. Nadajnik stacji bazowej			
1	Typ/Producent	DBS / SRAN Huawei	
2	Częstotliwość (pasmo)	900	800 2600
3	Maksymalna moc nadawania na sektor [dBm]	46,02	49,03 49,03
II. Obciążenie			
1	Typ anteny	AMB4519R0	AMB4520R0
2	Producent anteny	Huawei	
3	Nazwa anteny	32_GTV	31_H
4	Liczba anten	1	
5	azymut[°]	270	
6	Zakres kątów pochylenia [°]**	0-10	0-10
7	Wysokość środka elektrycznego anteny [m n.p.t]	62,70	63,00
8	Równoważna moc promieniowana izotropowo (EIRP) [W]	7515,0	7315,0

Charakterystyka promieniowania		kierunkowa		
Rzeczywisty czas pracy [h/dobę]		24		
Rodzaj wytwarzanego pola		Stacjonarne		
L.p.	Wyszczególnienie	Sektor 11		
I. Nadajnik stacji bazowej				
1	Typ/Producent	DBS / SRAN Huawei		
2	Częstotliwość (pasmo)	900	800	2600
3	Maksymalna moc nadawania na sektor [dBm]	46,02	49,03	49,03
II. Obciążenie				
1	Typ anteny	AMB4519R0		AMB4520R0
2	Producent anteny	Huawei		
3	Nazwa anteny	32_GTV	32_GTV	31_H
4	Liczba anten	1		1
5	azymut[°]	330		
6	Zakres kątów pochylenia [°]**	0-10	0-10	0-10
7	Wysokość środka elektrycznego anteny [m n.p.t]	62,70		63,00
8	Równoważna moc promieniowana izotropowo (EIRP) [W]	7515,0		7315,0

Charakterystyka promieniowania		kierunkowa		
Rzeczywisty czas pracy [h/dobę]		24		
Rodzaj wytwarzanego pola		Stacjonarne		
L.p.	Wyszczególnienie	Sektor 12		
I. Nadajnik stacji bazowej				
1	Typ/Producent	DBS / SRAN Huawei		
2	Częstotliwość (pasmo)	2100	1800	
3	Maksymalna moc nadawania na sektor [dBm]	52,04	52,04	
II. Obciążenie				
1	Typ anteny	AMB4520R9		
2	Producent anteny	Huawei		
3	Nazwa anteny	33_DHLN	33_DHLN	
4	Liczba anten	1		
5	azymut[°]	332		
6	Zakres kątów pochylenia [°]**	2-12	2-12	
7	Wysokość środka elektrycznego anteny [m n.p.t]	62,45		
8	Równoważna moc promieniowana izotropowo (EIRP) [W]	24001,0		

* - dane uzyskane od klienta, za które laboratorium nie ponosi odpowiedzialności, mogące mieć wpływ na ważność wyników.

** - Zgodnie z informacją otrzymaną od Zleceniodawcy pomiary zostały wykonane przy ustawieniach pochylenia anten zgodnych z pkt. 13, ppkt 2 załącznika do rozporządzenia Ministra Klimatu z dnia 17 lutego 2020 roku.

Tabela 1a. Parametry anten radiolinii*

Charakterystyka promieniowania		kierunkowa					
Rzeczywisty czas pracy [h/dobę]		24					
Rodzaj wytwarzanego pola		stacjonarne					
L.p.	Linia radiowa			Antena			
	Typ / Producent	Częstotliwość pracy [GHz]	Moc wyjściowa [dBm]	Typ / Producent	Średnica anteny [m]	Azymut (°)	Wysokość zainstalowania n.p.t [m]
1	OPTIX RTN / Huawei	80	18	VHLP1-80 / Andrew	0,3	2	63,00
2	OPTIX RTN / Huawei	80/23	18/25	A23S80S06 / Huawei	0,6	26	61,50
3	OPTIX RTN / Huawei	13	29	VHLPX2-13 / Andrew	0,6	79	62,00
4	OPTIX RTN / Huawei	80	18	VHLP2-80 / Andrew	0,6	122	63,90
5	OPTIX RTN / Huawei	23	21	VHLPX2-23 / Andrew	0,6	275	61,80
6	OPTIX RTN / Huawei	13	29	VHLPX2-13 / Andrew	0,6	289	61,30
7	OPTIX RTN / Huawei	32	26	VHLPX2-32 / Andrew	0,6	320	61,30

* - dane uzyskane od klienta, za które laboratorium nie ponosi odpowiedzialności, mogące mieć wpływ na ważność wyników.

2.2. Inne źródła pola-EM mogące mieć wpływ na wyniki pomiarów.

Tabela 1b. Inne źródła PEM

Lp.	Typ instalacji	Pasma pracy	Czy ma potencjalny wpływ na wyniki pomiarów (T/N)
1	Instalacja radiokomunikacyjna T-Mobile / Orange, Radomsko, ul. 11-go Listopada 2	800/900/1800/2100/2600 MHz	T
2	Instalacja radiokomunikacyjna Towerlink, Radomsko, ul. 11-go Listopada 2	900/1800/2100 MHz	T
3	Instalacja radiokomunikacyjna T-Mobile, Radomsko, ul. 11-go Listopada 9	800/900/1800/2100/2600 MHz	T
4	Instalacja radiokomunikacyjna Towerlink, Radomsko, ul. 11-go Listopada 9	900/1800/2100/2600 MHz	T

2.3. Data i warunki środowiskowe

Tabela 2. Warunki środowiskowe*

Data pomiarów	Warunki środowiskowe		
28.04.2023	temperatura [°C]	wilgotność [%]	opady
Godz. (początek) 11:40	14,0	36,0	brak
Godz. (koniec) 15:00	16,0	29,0	

* - warunki środowiskowe występujące podczas wykonywania pomiarów zgodne ze specyfikacją techniczną użytego zestawu pomiarowego

2.4. Opis zestawu pomiarowego

Pomiary wykonano za pomocą miernika pól elektromagnetycznych NBM-550 firmy Narda Safety Test Solutions z zastosowaniem sond, których parametry techniczne podano w tabeli 3.

Tabela 3. Parametry sondy pomiarowej

Typ sondy pomiarowej	EF 0391	EF 6092
Zakres pomiaru natężenia pola elektrycznego / magnetycznego	0,5 – 300 [V/m]	0,5 – 300 [V/m]
Zakres pomiaru częstotliwości	0,1 – 4000 [MHz]	0,08 – 90 [GHz]

Zestaw pomiarowy jest wzorcowany przez Laboratorium Wzorców i Metrologii Pola Elektromagnetycznego Politechniki Wrocławskiej, które posiada akredytację PCA nr AP 078.

Wzorcowanie zostało poświadczane świadectwem wzorcowania nr LWiMP/W/400/22.

Zestaw pomiarowy został poddany sprawdzeniu zgodnie z instrukcją IT-6.4/03 „Sprawdzenie miernika pól elektromagnetycznych”.

Wyposażenie pomocnicze:

	Producent:	Model:	Sprawdzenie:
Termohigrometr:	AZ	AZ-8703	Zgodnie z instrukcją wewnętrzną IT-6.4/02
Dalmierz:	Leica	Disto A8	Zgodnie z instrukcją wewnętrzną IT-6.4/01
GPS:	Garmin	GPS Kit for NBM-550	Zgodnie z wewnętrznymi wytycznymi laboratorium

2.5. Metodyka wykonywania pomiarów

Metodykę badania przyjęto zgodnie z Rozporządzeniem Ministra Klimatu z dnia 17.02.2020 r. w sprawie sposobów sprawdzania dotrzymania dopuszczalnych poziomów pól elektromagnetycznych w środowisku (Dz. U. z 2020 r., poz. 258, z późn. zmianami).

Dopuszczalne poziomy pól elektromagnetycznych w środowisku określa Rozporządzenie Ministra Zdrowia z dnia 17 grudnia 2019 r. w sprawie dopuszczalnych poziomów pól elektromagnetycznych w środowisku (Dz. U. z 2019 r., poz. 2448).

Wynikiem pomiaru jest wartość uśredniona zgodnie z Rozporządzeniem Ministra Zdrowia z dnia 17 grudnia 2019 r. w sprawie dopuszczalnych poziomów pól elektromagnetycznych w środowisku (Dz. U. z 2019 r., poz. 2448).

Jako wynik uśredniania dla danego pionu, przyjęto wartość maksymalną odczytaną podczas pomiaru chwilowego od wysokości 0,3 m do 2 m nad poziomem podłoża w danym pionie pomiarowym zgodnie z pkt. 11 załącznika do Rozporządzenia Ministra Klimatu z dnia 17.02.2020 r. w sprawie sposobów sprawdzania dotrzymania dopuszczalnych poziomów pól elektromagnetycznych w środowisku (Dz. U. z 2020 r., poz. 258, z późn. zmianami).

Pomiary wykonywane są zgodnie z przyjętą metodyką oraz wytycznymi zleconodawcy i przeprowadzone w okolicy omawianej instalacji radiokomunikacyjnej. W szczególności w tych miejscach, w których, na podstawie uprzednio przeprowadzonych obliczeń, stwierdzono występowanie w danych zakresach częstotliwości pól elektromagnetycznych o poziomach zbliżonych do poziomów dopuszczalnych, określonych w przepisach.

Na podstawie otrzymanej od zleceniodawcy dokumentacji wyznaczono główne kierunki pomiarowe zgodnie z azymutami maksymalnych zasięgów anten. Pomiarów zostały wykonane w odległościach nie mniejszych niż wynikające z Rozporządzenia Ministra Klimatu z dnia 17.02.2020 r. w sprawie sposobów sprawdzania dotrzymania dopuszczalnych poziomów pól elektromagnetycznych w środowisku (Dz. U. z 2020 r., poz. 258, z późn. zmianami) oraz w dodatkowych pionach pomiarowych wynikających ze specyfiki obiektu, a także wskazanych przez zleceniodawcę (jeżeli dotyczy).

Uwaga: Zgodnie z Art. 31, ust. 2 ustawy z dnia 16.04.2020 r. o szczególnych instrumentach wsparcia w związku z rozprzestrzenianiem się wirusa SARS-CoV-2 (Dz. U. Z 2020 r., poz. 695) „W przypadku wprowadzenia na części albo całym terytorium Rzeczypospolitej Polskiej stanu nadzwyczajnego, o którym mowa w art. 228 ust. 1 Konstytucji Rzeczypospolitej Polskiej z dnia 2 kwietnia 1997 r. (Dz. U. poz. 483, z 2001 r. poz. 319, z 2006 r. poz. 1471 oraz z 2009 r. poz. 946), lub stanu zagrożenia epidemicznego lub stanu epidemii, o których mowa w art. 46 ustawy z dnia 5 grudnia 2008 r. o zapobieganiu oraz zwalczaniu zakażeń i chorób zakaźnych u ludzi (Dz. U. z 2019 r. poz. 1239 i 1495 oraz z 2020 r. poz. 284, 322, 374 i 567), pomiarów, o których mowa w ust. 1, nie przeprowadza się w lokalach mieszkalnych oraz w lokalach użytkowych zlokalizowanych na terytorium objętym stanem nadzwyczajnym, stanem zagrożenia epidemicznego lub stanem epidemii.”

W związku z powyższym nie wykonano pomiarów w lokalach mieszkalnych i usługowych zlokalizowanych w sąsiedztwie badanej instalacji.

Wyniki pomiarów wraz z opisem pionów pomiarowych przedstawiono w tabeli 4a i 4b.

3. WYNIKI POMIARÓW

Pomiary zostały wykonane w czasie znamionowych warunków eksploatacyjnych instalacji radiokomunikacyjnej. Wyniki pomiarów przeprowadzonych w otoczeniu instalacji radiokomunikacyjnej wraz z opisem pionów/punktów pomiarowych przedstawiono w tabeli 4a i 4b.

Tabela 4a. Opis i lokalizacja pionów pomiarowych

Nr pionu	Opis pionu pomiarowego	Współrzędne Geograficzne					
		N			E		
		o	'	''	o	'	''
1	GKP – pomiędzy azymutami anten sektorowych 28° oraz 30°	51	04	38,1	19	25	52,8
2	GKP – pomiędzy azymutami anten sektorowych 28° oraz 30°	51	04	39,1	19	25	53,6
3	GKP – na azymucie anteny sektorowej 28°	51	04	41,8	19	25	55,9
4	GKP – na azymucie anteny sektorowej 28°	51	04	45,3	19	25	58,9
5	GKP – na azymucie anteny sektorowej 28°	51	04	47,5	19	26	00,7
6	GKP – na azymucie anteny sektorowej 28°	51	04	50,6	19	26	03,3
7	GKP – na azymucie anten sektorowych 30°	51	04	42,0	19	25	56,3
8	GKP – na azymucie anten sektorowych 30°	51	04	46,7	19	26	00,6
9	GKP – na azymucie anten sektorowych 30°	51	04	51,8	19	26	05,4
10	DPP – pion pomocniczy pomiędzy azymutami anten sektorowych 332° oraz 28°	51	04	39,3	19	25	52,6
11	DPP – pion pomocniczy pomiędzy azymutami anten sektorowych 30° oraz 90°	51	04	38,3	19	25	54,1
12	GKP – pomiędzy azymutami anten sektorowych 90° oraz 92°	51	04	37,8	19	25	52,9
13	GKP – pomiędzy azymutami anten sektorowych 90° oraz 92°	51	04	37,8	19	25	54,5
14	GKP – na azymucie anten sektorowych 90°	51	04	37,8	19	25	57,0
15	GKP – na azymucie anten sektorowych 90°	51	04	37,8	19	26	05,4
16	GKP – na azymucie anten sektorowych 90°	51	04	37,8	19	26	11,1
17	GKP – na azymucie anten sektorowych 90°	51	04	37,8	19	26	18,3
18	GKP – na azymucie anteny sektorowej 92°	51	04	37,7	19	25	56,7
19	GKP – na azymucie anteny sektorowej 92°	51	04	37,5	19	26	04,5
20	GKP – na azymucie anteny sektorowej 92°	51	04	37,4	19	26	11,2
21	GKP – na azymucie anteny sektorowej 92°	51	04	37,3	19	26	17,3
22	DPP – pion pomocniczy pomiędzy azymutami anten sektorowych 92° oraz 148°	51	04	37,0	19	25	54,7
23	GKP – pomiędzy azymutami anten sektorowych 148° oraz 150°	51	04	36,9	19	25	53,4
24	GKP – na azymucie anteny sektorowej 148°	51	04	34,6	19	25	55,7
25	GKP – na azymucie anteny sektorowej 148°	51	04	28,3	19	26	01,9

Atomik Laboratorium Badawcze

Wyniki przedstawione w sprawozdaniu odnoszą się tylko do badanego obiektu i są ważne tylko dla tej konfiguracji.

Kopiowanie sprawozdania dozwolone tylko w całości.

QF-7.8/02 wyd. 5 z dn. 09.06.2022

Nr pionu	Opis pionu pomiarowego	Współrzędne Geograficzne					
		N			E		
		o	'	"	o	'	"
26	GKP – na azymucie anteny sektorowej 148°	51	04	27,0	19	26	03,2
27	GKP – na azymucie anten sektorowych 150°	51	04	35,0	19	25	55,1
28	GKP – na azymucie anten sektorowych 150°	51	04	28,3	19	26	01,2
29	GKP – na azymucie anten sektorowych 150°	51	04	23,2	19	26	05,9
30	GKP – pomiędzy azymutami anten sektorowych 210° oraz 212°	51	04	37,4	19	25	52,2
31	GKP – pomiędzy azymutami anten sektorowych 210° oraz 212°	51	04	36,6	19	25	51,4
32	GKP – na azymucie anten sektorowych 210°	51	04	30,0	19	25	45,4
33	GKP – na azymucie anten sektorowych 210°	51	04	23,7	19	25	39,6
34	GKP – na azymucie anteny sektorowej 212°	51	04	30,3	19	25	45,1
35	GKP – na azymucie anteny sektorowej 212°	51	04	27,1	19	25	41,8
36	GKP – pomiędzy azymutami anten sektorowych 268° oraz 270°	51	04	37,8	19	25	51,9
37	GKP – pomiędzy azymutami anten sektorowych 268° oraz 270°	51	04	37,8	19	25	50,4
38	GKP – na azymucie anteny sektorowej 268°	51	04	37,5	19	25	39,5
39	GKP – na azymucie anteny sektorowej 268°	51	04	37,4	19	25	35,7
40	GKP – na azymucie anteny sektorowej 268°	51	04	37,3	19	25	30,8
41	GKP – na azymucie anten sektorowych 270°	51	04	37,8	19	25	39,3
42	GKP – na azymucie anten sektorowych 270°	51	04	37,8	19	25	32,6
43	GKP – na azymucie anten sektorowych 270°	51	04	37,8	19	25	26,6
44	DPP – pion pomocniczy pomiędzy azymutami anten sektorowych 270° oraz 330°	51	04	38,7	19	25	50,8
45	GKP – pomiędzy azymutami anten sektorowych 330° oraz 332°	51	04	38,2	19	25	52,1
46	GKP – pomiędzy azymutami anten sektorowych 330° oraz 332°	51	04	39,0	19	25	51,5
47	GKP – pomiędzy azymutami anten sektorowych 330° oraz 332°	51	04	40,9	19	25	49,7
48	GKP – na azymucie anten sektorowych 330°	51	04	43,1	19	25	47,6
49	GKP – na azymucie anten sektorowych 330°	51	04	46,2	19	25	44,8
50	GKP – na azymucie anten sektorowych 330°	51	04	48,1	19	25	43,1
51	GKP – na azymucie anten sektorowych 330°	51	04	51,9	19	25	39,6
52	GKP – na azymucie anteny sektorowej 332°	51	04	43,7	19	25	47,5
53	GKP – na azymucie anteny sektorowej 332°	51	04	46,0	19	25	45,5
54	GKP – na azymucie anteny sektorowej 332°	51	04	49,6	19	25	42,5
55	GKP – na azymucie anteny radiolinii 2°	51	04	39,4	19	25	52,6
56	GKP – na azymucie anteny radiolinii 26°	51	04	39,2	19	25	53,6
57	GKP – na azymucie anteny radiolinii 79°	51	04	38,0	19	25	54,3
58	GKP – na azymucie anteny radiolinii 122°	51	04	37,0	19	25	54,5
59	GKP – na azymucie anteny radiolinii 275°	51	04	37,9	19	25	50,4
60	GKP – na azymucie anteny radiolinii 289°	51	04	38,3	19	25	50,2
61	GKP – na azymucie anteny radiolinii 320°	51	04	38,9	19	25	51,1
62	GKP – na kierunku najbliższej zabudowy mieszkalnej	51	04	39,2	19	25	55,9
63	DPP – ul. 11-go Listopada 11D – na klatce schodowej pomiędzy 2 i 3 piętrem przy otwartym oknie	-	-	-	-	-	-

GKP – główny kierunek pomiarowy;

DPP - dodatkowy pion pomiarowy;

Tabela 4b. Wyniki pomiarów

Nr pionu	Wysokość punktu dla wartości E [m]	Wartość natężenia pola elektrycznego (E) [V/m]*	Obliczona wartość natężenia pola magnetycznego (H) [A/m]	Rozszerzona niepewność pomiaru (U) [±V/m]	Obliczona maksymalna wartość natężenia pola elektrycznego (E+U)	Obliczona maksymalna wartość natężenia pola magnetycznego (na podstawie E _{max})	Wartość wskaźnikowa	
					E _{max} [V/m]	H _{max} [A/m]	WM _E	WM _H
1	2,0	1,3	0,0034	0,5	1,8	0,0049	0,07	0,07
2	2,0	1,7	0,0045	0,7	2,4	0,0064	0,09	0,09
3	2,0	1,3	0,0034	0,5	1,8	0,0049	0,07	0,07
4	2,0	1,4	0,0037	0,6	2,0	0,0053	0,07	0,07
5	2,0	1,1	0,0029	0,5	1,6	0,0041	0,06	0,06
6	w całym pionie	<1,0**	<0,0027	0,4***	<1,4	<0,0038	0,05	0,05
7	2,0	1,5	0,0040	0,6	2,1	0,0056	0,08	0,08
8	2,0	1,3	0,0034	0,5	1,8	0,0049	0,07	0,07
9	w całym pionie	<1,0**	<0,0027	0,4***	<1,4	<0,0038	0,05	0,05
10	2,0	1,8	0,0048	0,7	2,5	0,0068	0,09	0,09
11	2,0	1,5	0,0040	0,6	2,1	0,0056	0,08	0,08
12	2,0	1,1	0,0029	0,5	1,6	0,0041	0,06	0,06
13	2,0	1,5	0,0040	0,6	2,1	0,0056	0,08	0,08
14	2,0	1,6	0,0042	0,7	2,3	0,0060	0,08	0,08
15	2,0	1,3	0,0034	0,5	1,8	0,0049	0,07	0,07
16	2,0	2,2	0,0058	0,9	3,1	0,0083	0,11	0,11
17	w całym pionie	<1,0**	<0,0027	0,4***	<1,4	<0,0038	0,05	0,05
18	2,0	1,6	0,0042	0,7	2,3	0,0060	0,08	0,08
19	2,0	1,2	0,0032	0,5	1,7	0,0045	0,06	0,06
20	2,0	2,4	0,0064	1,0	3,4	0,0090	0,12	0,12
21	w całym pionie	<1,0**	<0,0027	0,4***	<1,4	<0,0038	0,05	0,05
22	2,0	1,9	0,0050	0,8	2,7	0,0071	0,10	0,10
23	2,0	1,9	0,0050	0,8	2,7	0,0071	0,10	0,10
24	2,0	2,2	0,0058	0,9	3,1	0,0083	0,11	0,11
25	2,0	1,5	0,0040	0,6	2,1	0,0056	0,08	0,08

Atomik Laboratorium Badawcze

Wyniki przedstawione w sprawozdaniu odnoszą się tylko do badanego obiektu i są ważne tylko dla tej konfiguracji.

Kopiowanie sprawozdania dozwolone tylko w całości.

QF-7.8/02 wyd. 5 z dn. 09.06.2022

Nr pionu	Wysokość punktu dla wartości E [m]	Wartość natężenia pola elektrycznego (E) [V/m]*	Obliczona wartość natężenia pola magnetycznego (H) [A/m]	Rozszerzona niepewność pomiaru (U) [±V/m]	Obliczona maksymalna wartość natężenia pola elektrycznego (E+U)	Obliczona maksymalna wartość natężenia pola magnetycznego (na podstawie E _{max})	Wartość wskaźnikowa	
					E _{max} [V/m]	H _{max} [A/m]	WM _E	WM _H
26	2,0	1,3	0,0034	0,5	1,8	0,0049	0,07	0,07
27	2,0	1,7	0,0045	0,7	2,4	0,0064	0,09	0,09
28	2,0	1,6	0,0042	0,7	2,3	0,0060	0,08	0,08
29	w całym pionie	<1,0**	<0,0027	0,4***	<1,4	<0,0038	0,05	0,05
30	2,0	1,1	0,0029	0,5	1,6	0,0041	0,06	0,06
31	2,0	1,8	0,0048	0,7	2,5	0,0068	0,09	0,09
32	2,0	1,6	0,0042	0,7	2,3	0,0060	0,08	0,08
33	2,0	1,3	0,0034	0,5	1,8	0,0049	0,07	0,07
34	2,0	1,6	0,0042	0,7	2,3	0,0060	0,08	0,08
35	2,0	1,5	0,0040	0,6	2,1	0,0056	0,08	0,08
36	2,0	1,2	0,0032	0,5	1,7	0,0045	0,06	0,06
37	2,0	1,5	0,0040	0,6	2,1	0,0056	0,08	0,08
38	2,0	2,2	0,0058	0,9	3,1	0,0083	0,11	0,11
39	2,0	1,2	0,0032	0,5	1,7	0,0045	0,06	0,06
40	w całym pionie	<1,0**	<0,0027	0,4***	<1,4	<0,0038	0,05	0,05
41	2,0	2,1	0,0056	0,9	3,0	0,0079	0,11	0,11
42	w całym pionie	<1,0**	<0,0027	0,4***	<1,4	<0,0038	0,05	0,05
43	w całym pionie	<1,0**	<0,0027	0,4***	<1,4	<0,0038	0,05	0,05
44	2,0	1,8	0,0048	0,7	2,5	0,0068	0,09	0,09
45	2,0	1,5	0,0040	0,6	2,1	0,0056	0,08	0,08
46	2,0	2,1	0,0056	0,9	3,0	0,0079	0,11	0,11
47	2,0	1,2	0,0032	0,5	1,7	0,0045	0,06	0,06
48	2,0	1,5	0,0040	0,6	2,1	0,0056	0,08	0,08
49	2,0	1,9	0,0050	0,8	2,7	0,0071	0,10	0,10
50	2,0	1,1	0,0029	0,5	1,6	0,0041	0,06	0,06
51	2,0	1,4	0,0037	0,6	2,0	0,0053	0,07	0,07
52	2,0	1,7	0,0045	0,7	2,4	0,0064	0,09	0,09
53	2,0	2,0	0,0053	0,8	2,8	0,0075	0,10	0,10
54	2,0	1,2	0,0032	0,5	1,7	0,0045	0,06	0,06
55	2,0	2,1	0,0056	0,9	3,0	0,0079	0,11	0,11
56	2,0	1,6	0,0042	0,7	2,3	0,0060	0,08	0,08
57	2,0	1,7	0,0045	0,7	2,4	0,0064	0,09	0,09
58	2,0	1,5	0,0040	0,6	2,1	0,0056	0,08	0,08
59	2,0	1,6	0,0042	0,7	2,3	0,0060	0,08	0,08
60	2,0	1,4	0,0037	0,6	2,0	0,0053	0,07	0,07
61	2,0	2,0	0,0053	0,8	2,8	0,0075	0,10	0,10
62	2,0	1,6	0,0042	0,7	2,3	0,0060	0,08	0,08
63	2,0	3,0	0,0080	1,2	4,2	0,0113	0,15	0,15

* - maksymalna wartość chwilowa;

** - wynik spoza zakresu akredytacji – wartość powyżej dolnej granicy zakresu pomiarowego miernika i poniżej dolnej granicy akredytowanego zakresu metody pomiarowej – do obliczenia wyniku skorygowanego przyjęto wartość skorelowaną z rzeczywistym wynikiem pomiaru tj. dolną granicę akredytowanego zakresu pomiarowego metody (zgodnie z pkt. 4.7 dokumentu PCA DAB-18);

*** - niepewność dla dolnej granicznej wartości akredytowanego zakresu pomiarowego metody;

Niepewność pomiaru pola elektromagnetycznego dla przeprowadzonego badania została określona zgodnie z instrukcją IT-7.6/01. Podane wartości niepewności stanowią niepewności rozszerzone przy poziomie ufności 95% i współczynniku rozszerzenia $k = 2$.

Lokalizację pionów pomiarowych przedstawiono w załączniku nr 2.

4. OCENA WYNIKÓW POMIARU PÓL

Wyniki przedstawione w niniejszym sprawozdaniu, odnoszą się tylko i wyłącznie do badanego obiektu, parametrów wskazanych w tabeli 1, 1a, oraz warunków atmosferycznych przedstawionych w tabeli 2, przy których zostały wykonane.

Zgodnie z Rozporządzeniem Ministra Zdrowia z dnia 17 grudnia 2019 r. w sprawie dopuszczalnych poziomów pól elektromagnetycznych w środowisku (Dz. U. z 2019 r., poz. 2448) oraz na podstawie wytycznych operatora i zidentyfikowanych źródeł pola-EM, ustalono, iż dopuszczalny poziom elektromagnetycznego promieniowania niejonizującego jaki może wystąpić w miejscach dostępnych dla ludności, określony dla przedmiotowej instalacji wynosi:

- **$E = 28,0$ [V/m] – dla natężenia pola elektrycznego**
- **$H = 0,073$ [A/m] – dla natężenia pola magnetycznego**

Po przeprowadzonej analizie uzyskanych wyników pomiarów zamieszczonych w tabeli 4b stwierdzono, iż wartości natężenia pola elektrycznego oraz magnetycznego w miejscach dostępnych dla ludności, gdzie zostały wykonane pomiary, przy instalacji radiokomunikacyjnej zlokalizowanej pod adresem: Radomsko, ul. 11-go Listopada 2 nie przekroczyły poziomów dopuszczalnych określonych w przepisach.

Zgodnie z Art. 122a, ust. 1, pkt. 2 i 3, Ustawy z dnia 27 kwietnia 2001 Prawo Ochrony Środowiska (Dz. U. z 2021 r. poz. 1973) ponowne pomiary kontrolne wykonuje się:

- każdorazowo w przypadku zmiany warunków pracy instalacji lub urządzenia, w tym zmiany spowodowanej zmianami w wyposażeniu instalacji lub urządzenia, o ile zmiany te mogą mieć wpływ na zmianę poziomów pól elektromagnetycznych, których źródłem jest instalacja lub urządzenie;
- każdorazowo w przypadku zmiany istniejącego stanu zagospodarowania i zabudowy nieruchomości skutkującej zmianami w występowaniu miejsc dostępnych dla ludności w otoczeniu instalacji lub urządzenia – na pisemny wniosek właściciela lub zarządcy nieruchomości, na której nastąpiła ta zmiana.

4.1. Wnioski

W miejscach dostępnych dla ludności, gdzie zostały wykonane pomiary, przy instalacji radiokomunikacyjnej P4 Sp. z o. o. „RDM3302A” nie występują natężenia pola elektrycznego i magnetycznego przekraczające wartości dopuszczalne określone w przepisach.

5. OCENA ZGODNOŚCI

W związku z tym, iż żaden ze wskaźników WM_E i WM_H , przedstawionych w tabeli 4b i obliczonych zgodnie z pkt. 25 załącznika do Rozporządzenia Ministra Klimatu z dnia 17.02.2020 r. w sprawie sposobów sprawdzania dotrzymania dopuszczalnych poziomów pól elektromagnetycznych w środowisku (Dz. U. z 2020 r., poz. 258, z późn. zmianami) nie przekracza wartości 1, to uznaje się dopuszczalne poziomy pól elektromagnetycznych w środowisku, w miejscach wykonania pomiarów, za zachowane.

Zasadę podejmowania decyzji co do stwierdzenia zgodności przyjęto zgodnie z pkt. 26 załącznika do Rozporządzenia Ministra Klimatu z dnia 17.02.2020 r. w sprawie sposobów sprawdzania dotrzymania dopuszczalnych poziomów pól elektromagnetycznych w środowisku (Dz. U. z 2020 r., poz. 258, z późn. zmianami) i dotyczy ona wszystkich wyników przedstawionych w tabeli 4b.

6. WYKAZ NORM I PRZEPISÓW

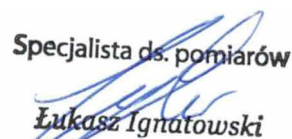
- Ustawa z dnia 27 kwietnia 2001 r. Prawo Ochrony Środowiska. (Dz. U. z 2021 r. poz. 1973 z późniejszymi zmianami).
- Rozporządzenie Ministra Zdrowia z dnia 17 grudnia 2019 r. w sprawie dopuszczalnych poziomów pól elektromagnetycznych w środowisku (Dz. U. z 2019 r., poz. 2448).
- Rozporządzenie Ministra Klimatu z dnia 17.02.2020 r. w sprawie sposobów sprawdzania dotrzymania dopuszczalnych poziomów pól elektromagnetycznych w środowisku (Dz. U. z 2020 r., poz. 258, z późn. zmianami).
- „DAB-18” Program akredytacji Laboratoriów Badawczych wykonujących pomiary pola elektromagnetycznego w środowisku.

7. SPIS ZAŁĄCZNIKÓW

Załącznik 1. Lokalizacja stacji (1 str.).

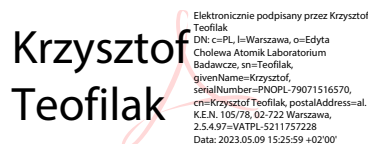
Załącznik 2. Usytuowanie pionów (punktów) pomiarowych (2 str.).

Sprawozdanie opracował:

Specjalista ds. pomiarów

Łukasz Ignatowski

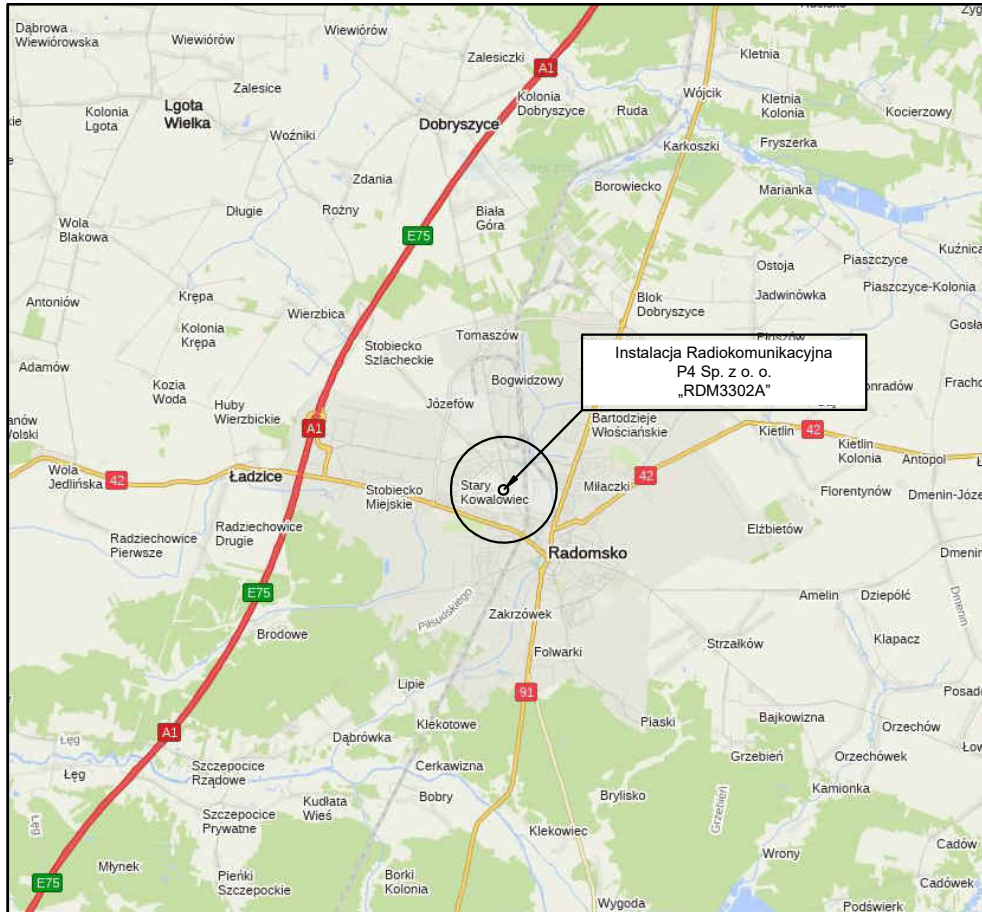
09.05.2023 r.


Sprawozdanie autoryzował:

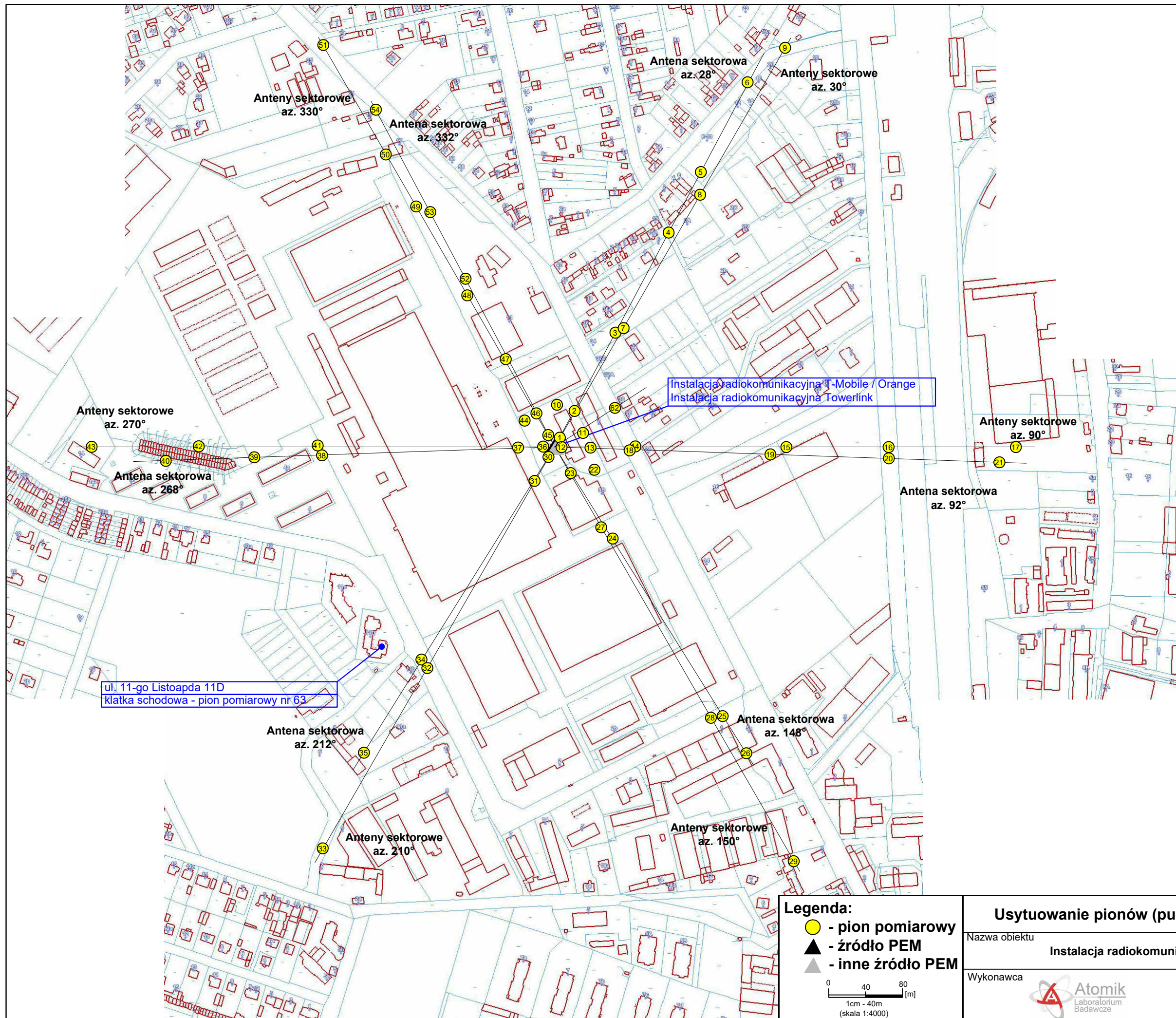
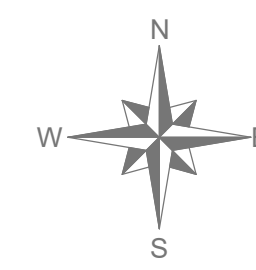
Krzysztof
Teofilak

Elektronicznie podpisany przez Krzysztof Teofilak
DN: c=PL, l=Warszawa, o=Edyta Cholewa Atomik Laboratorium Badawcze, sn=Teofilak, givenName=Krzysztof, serialNumber=PNOPL-79071516570, cn=Krzysztof Teofilak, postalAddress=al. K.E.N. 105/76, 02-722 Warszawa, 2.5.4.97=WATPL-S211757228, Data: 2023.05.09 15:25:59 +02'00'

09.05.2023 r.

KONIEC SPRAWOZDANIA




Tytuł	Lokalizacja instalacji radiokomunikacyjnej	Skala	_____
Nazwa obiektu	Instalacja radiokomunikacyjna P4 Sp. z o.o. „RDM3302A”	Do sprawozdania nr	OSR/0040/04/2023
Wykonawca		Załącznik	1

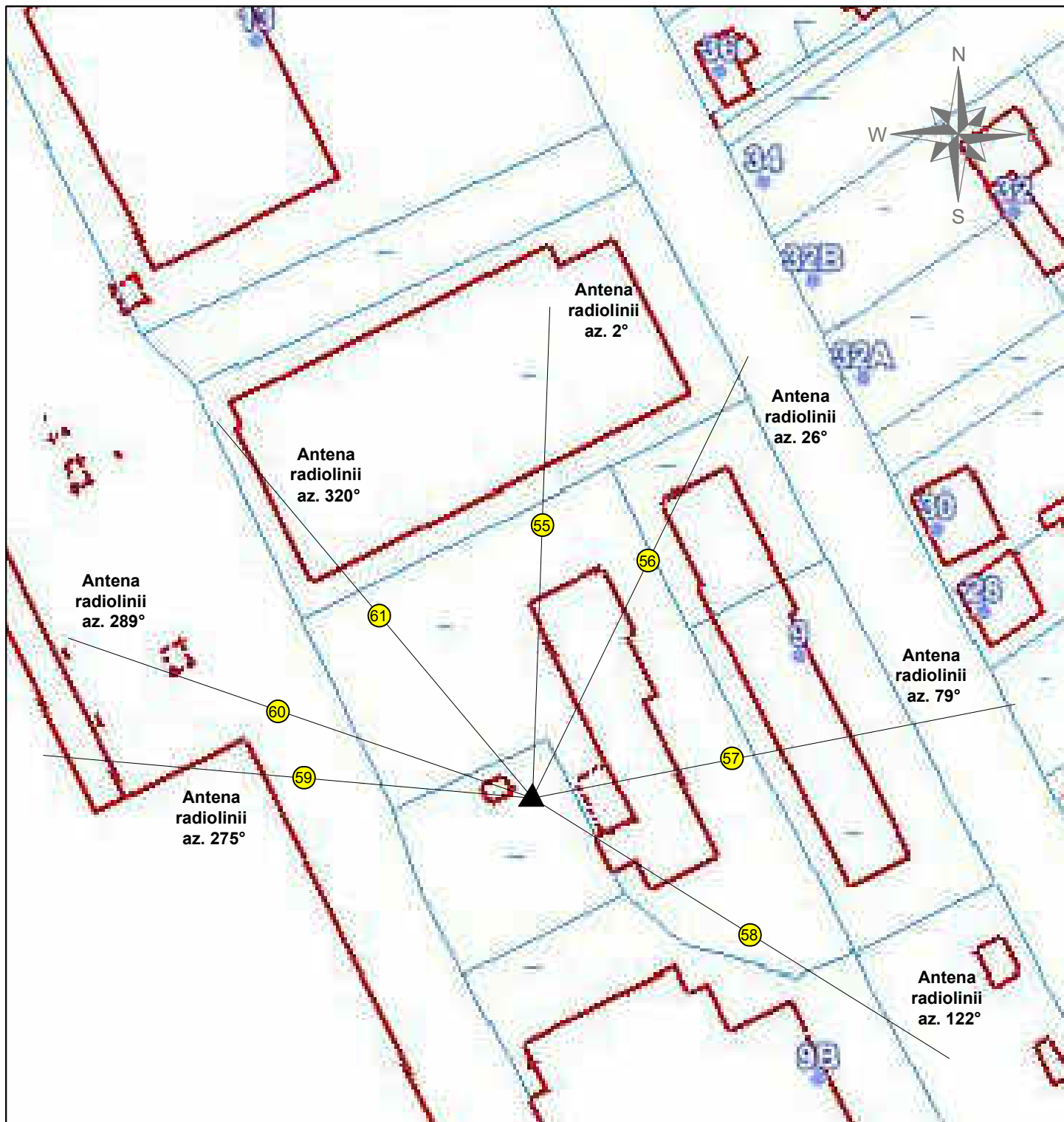


Legenda:

- - pion pomiarowy
- ▲ - źródło PEM
- ▲ - inne źródło PEM

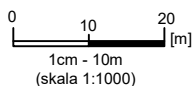
0 40 80 [m]
1cm - 40m
(skala 1:4000)

Usytuowanie pionów (punktów) pomiarowych			
Nazwa obiektu	Instalacja radiokomunikacyjna P4 Sp. z o.o. „RDM3302A”		
Wykonawca	 Atomik Laboratorium Badawcze	Skala	Do sprawozdania nr
		1:4000	OSR/0040/04/2023
			Załącznik
			2.1



Legenda:

- - pion pomiarowy
- ▲ - źródło PEM
- ▲ - inne źródło PEM



Usytuowanie pionów (punktów) pomiarowych

Nazwa obiektu

Instalacja radiokomunikacyjna P4 Sp. z o.o. „RDM3302A”

Wykonawca



Skala

1:1000

Do sprawozdania nr

OSR/0040/04/2023

Załącznik

2.2